

## اثر ثبیت آنزیمی روی فعالیت و پایداری «پاپایین»

احمد ابولپور همایی<sup>۱\*</sup>، ریحانه سریری<sup>۲</sup>، رضا حسن ساجدی<sup>۳</sup>

۱- مریم بیوشیمی، گروه زیست‌شناسی، دانشکده علوم پایه، دانشگاه هرمزگان، بندرعباس، ایران

۲- استاد بیوشیمی، گروه زیست‌شناسی، دانشکده علوم پایه، دانشگاه گیلان، رشت، ایران

۳- استادیار بیوشیمی، گروه بیوشیمی، دانشکده علوم زیستی، دانشگاه تربیت مدرس، تهران، ایران

\*بندرعباس، کد پستی ۷۹۱۶۱۹۳۱۴۵

a.homaei@hormozgan.ac.ir

(دریافت مقاله: ۹۱/۴/۳۰، پذیرش: ۹۱/۸/۱۵)

**چکیده** - پاپایین (EC22.4.3)، سیستئین پروتئازی با فعالیت کاتالیزوری قابل توجه است که امروزه کاربرد گسترده در صنایع دارد. استفاده از پاپایین ثبیت شده در بسیاری از فرایندها، مزایایی ارزشمند دارد و در برخی موارد ضروری است. از سیستئین بیشتر برای دستیابی به فعالیت مناسب، به عنوان فعال‌کننده پاپایین استفاده می‌شود. از طرفی، برخی از یون‌های دوظرفیتی مانند  $\text{Ca}^{2+}$  به عنوان مهارکننده این آنزیم عمل می‌کنند. در این پژوهش پس از فعال کردن ژل سفارز ۶B به وسیله‌ی سیانوژن برومید، برای اتصال کووالان آنزیم، محلول پروتئینی با غلظت ۵ mg/ml به ژل فعال اضافه شد. برای مسدودکردن گروه‌های فعال آزاد روی ژل که پس از اضافه شدن آنزیم با آن واکنش نداده بودند، از محلول 2M گلیسین استفاده شد. نتایج نشان داد که ثبیت آنزیم روی این بستر موجب پایداری نسبت به زمان، دما، pH‌های بحرانی و همچنین افزایش مقاومت در برابر اثر مهارکننده‌ی یون‌های دوظرفیتی می‌شد. دمای بهینه آنزیم ثبیت شده  $20^{\circ}\text{C}$  (از  $60^{\circ}\text{C}$  به  $80^{\circ}\text{C}$ ) از آنزیم آزاد بیشتر بود و pH بهینه نیز از 7 به 8 رسید. شاخص‌های سیتیکی آنزیم ( $K_m$  و  $k_{cat}$ ) نیز هنگام ثبیت دچار تغییر شدند. این نتیجه بسیار اهمیت دارد به ویژه اگر بدانیم که ثبیت آنزیم‌ها موجب کاهش فعالیت و کارایی کاتالیتیک آن‌ها می‌شود.

**کلیدواژگان:** پاپایین، ثبیت، سیستئین، فعالیت، پایداری، شاخص‌های سیتیکی.

آنزیم‌ها مورد توجه قرار گرفته است؛ زیرا ثبیت سامانه‌ی آنزیمی، افزون بر مزیت پایدارسازی آنزیم، امکان استفاده دوباره از آنزیم و نگهداری آن در واکنشگر را فراهم می‌کند [۳-۱]. استفاده از آنزیم‌های

### ۱- مقدمه

در بیوتکنولوژی جدید، روش ثبیت به عنوان ابزاری مناسب برای توسعه فناوری آنزیمی و بهره‌گیری از

دانشگاهی و صنعتی در کشورهای مختلف در این زمینه مشغول بررسی و پژوهش هستند.

در این پژوهش ایده‌ای دنبال شد تا با صرف هزینه کم و روشی ترکیبی، توانایی ثبت آنزیم پایابین روی بستر سفارز-6B را در کنار حفظ فعالیت و میزان پایداری آنزیمی بالا برد. بنابراین بهینه‌سازی ثبت پایابین به روش کووالانسی بررسی شد.

## ۲- مواد و روش‌ها

### ۲-۱- مواد

مواد اولیه کازئین، پایابین، سیانوژن برماید، سفارز-6B و گلیسین از شرکت «مرک» تهیه شد. محلول نمک‌های کلرید کلسیم، منیزیم، روی، کبات، آهن، باریم، قلع و منگنز، EDTA، محلول برادفورد، بافرها، اسیدها و همهٔ حلال‌ها به صورت تازه تهیه و استفاده شد. همهٔ مواد شیمیایی، خلوص تحقیقاتی داشتند و نیاز به خالص‌سازی نبود.

### ۲-۲- سنجش آنزیمی پایابین و تعیین غلظت پروتئین

برای سنجش آنزیمی پایابین از روش End-point استفاده شد.  $25\text{ }\mu\text{l}$  از استوک آنزیمی  $1\text{ mg/ml}$   $175\text{ }\mu\text{l}$  پایابین به  $40\text{ mM}$  بافر  $\text{pH}=7/5$  اضافه شد. سپس محلول بالا به نسبت  $1:1$  با کازئین  $1\text{ }\mu\text{l}$  درصد مخلوط شد ( $200\text{ }\mu\text{l}$  کازئین). بعد از مخلوط کردن محلول آنزیمی با کازئین  $1$  درصد، زمان‌های مختلف انکوباسیون از  $5$  تا  $30$  دقیقه امتحان شد. بهترین زمان که  $10$  دقیقه بود برای آزمایش‌های بعدی استفاده شد. در این روش، همراه هر نمونه، یک شاهد (Blank) نیز گذاشته شد. ترکیب شاهد، مانند نمونه بود فقط به جای آنزیم، بافر اضافه شد و از آن

ثبت شده برای تولید محصولاتی مانند قندها، اسیدهای آمینه و داروها، جلوتر از زمینه‌های جدید بیوتکنولوژی مانند مهندسی ژنتیک و تولید آتنی‌بادی‌های مونوکلونال در دو دهه اخیر است. تاکنون تلاش‌های بسیاری انجام شده است تا ایده‌هایی برای بهتر کردن روند ثبت ارائه شود [۶-۷].

در ثبت آنزیم به روش کووالانسی، یکی از بسترهای کارامد سفارز است که گروه‌های عاملی آن به وسیله واکنشگرها ای مانند سیانوژن برومید فعال شده و سپس آنزیم به ژل فعال متصل می‌شود. بررسی‌ها نشان داده که تعداد زیادی از آنزیم‌ها با اتصال کووالان بین گروه‌های عاملی آمینواسیدهای موجود در ساختار آنزیمی و گروه‌های عاملی فعال شده سفارز ثبت می‌شوند و در حالت ثبت شده فعالیت کاتالیتیک خوبی دارند [۷-۸].

آنزیم پایابین از مهم‌ترین سیستئین پروتئازها است که اهمیت فراوانی در بیوتکنولوژی امروزی دارد. کاربرد این آنزیم در صنعت بسیار گسترده است و در تعداد زیادی از فرایندهای صنعتی مانند صنایع غذایی، پزشکی و دارویی، آرایشی، چرم، شویندها و برخی موارد نادر صنعتی استفاده می‌شود [۹-۱۲]. هر یک از فرایندهای صنعتی در شرایط فیزیکوشیمیایی خاصی انجام می‌شوند که از نظر  $\text{pH}$ ، درجه حرارت و حضور یون‌های فلزی با هم متفاوت است.

گوناگونی کاربرد آنزیم پایابین باعث شده که یافتن روش‌های جدید و نو برای ثبت این آنزیم که در کنار حفظ فعالیت آنزیم بر میزان پایداری آن در شاخص‌های فیزیکی مانند  $\text{pH}$  و دما بیفزاید، همواره برای محققین جالب باشد و گروه‌های پژوهشی وابسته به مراکز

استفاده شد [13]. برای جلوگیری از مسمومیت با سیانوژن برمید، همه‌ی مراحل فعالسازی زیر هود و با رعایت دقیق نکات ایمنی انجام شد. مقدار سیانوژن برومید مورد نیاز برای فعال کردن ژل سفارز-6B، 50 تا 300 میلی‌گرم به ازای هر میلی‌لیتر از ژل است. بنابراین برای فعال کردن 10 ml از ژل سفارز، 3000 mg سیانوژن برومید استفاده شد.

#### 2-4- استخراج هموگلوبین انسانی

5 میلی‌لیتر خون همراه μl 200 محلول 10 mM EDTA داخل لوله فالکن ریخته و 10 دقیقه در دور 3000 rpm سانتریفوژ یخچال دار سانتریفوژ شد. 3 لایه ایجاد شد؛ لایه آخری که RBC بود را با پیپت پاستور برداشته و در لوله فالکن دیگری ریخته و به آن محلول سرم فیزیولوژی اضافه شد. برای مخلوط شدن محتويات لوله فالکن، لوله چند بار تکان داده شد. سپس در دور 3000 rpm به مدت 10 دقیقه در سانتریفوژ یخچال دار سانتریفوژ شد. محلول رویی برداشته و دور ریخته شد. این مرحله 4 بار تکرار شد. بعد از پایان مرحله چهارم، به رسوبی که ته لوله فالکن جمع شده بود، به نسبت مساوی، آب م قطره اضافه شد. لوله فالکن چند تکان کوچک داده شد تا محتويات آن به خوبی مخلوط شوند. به محتويات لوله، چند قطره تولوئن افزوده و 30 ثانیه محتويات لوله فالکن ورتكس و سپس 10 دقیقه در دور 3000 rpm سانتریفوژ شد. سه لایه رسوب ته لوله فالکن جمع شد. لایه زیرین که هموگلوبین بود با پیپت پاستور برداشته و در میکروتیوب در دمای 4°C نگهداری شد.

#### 2-5- اتصال هموگلوبین به ژل فعال

0/5 ml 0/5 ml 0/5 ml غیرفعال را داخل دو میکروتیوب جداگانه ریخته و در pH=9/5 به هر کدام μl 250

برای صفر کردن اسپکتروفوتومتر استفاده شد. پس از 10 دقیقه به ترکیب بالا، هم حجم آن، یعنی μl 400 تری‌کلرواستیک اسید 10 درصد اضافه شد. بعد از گذشت نیم ساعت، این ترکیب با دور 12000 rpm، 5 دقیقه سانتریفوژ شد و بعد از صفر کردن دستگاه، جذب مایع رویی در طول موج 280 nm با اسپکتروفوتومتر خوانده شد. برای به دست آوردن فعالیت آنژیمی بر حسب واحد بین‌المللی آنژیمی (IU)، منحنی استاندارد تیروزین رسم شد. ابتدا غلط‌های متفاوت و متوالی از 0 تا 100 میکروگرم / میلی‌لیتر تیروزین در محلول 1 نرمال اسید کلریدریک تهیه شد (6 غلط متفاوت). برای رسم منحنی استاندارد تیروزین از اسید کلریدریک 0/006 نرمال به عنوان پایه استفاده شد. پس از ثبت جذب محلول‌های استاندارد تیروزین و نمونه‌های آنژیمی، یک منحنی استاندارد (جذب علیه μmol تیروزین) رسم شد و به کمک آن و با استفاده از شب منحنی، واحد آنژیمی محاسبه شد.

بر حسب تعریف، یک واحد آنژیمی، مقدار آنژیمی است که 1 μmol تیروزین را در یک دقیقه آزاد کند، هنگامی که تیروزین به عنوان استاندارد استفاده شود. سنجش آنژیم پاپایین تثیت‌شده شبیه آنژیم آزاد بود با این تفاوت که مخلوط آنژیم - سویسترا طی زمان واکنش آنژیمی (10 دقیقه) باید روی همزن قرار گیرد تا پخش سویسترا در فاز تثیت‌شده، یکسان باشد. در نهایت، برای تعیین غلط‌های کل پروتئین از روش برادرفورد استفاده شد.

#### 2-3- فعال کردن ژل سفارز-6B با سیانوژن برومید

برای فعال کردن ژل سفارز از روش Buffering و از سیانوژن برومید برای فعال کردن گروههای عاملی ژل

(ثبت شده) را می‌توان با کم کردن غلظت استوک اولیه آنزیمی از غلظت مایع رویی به دست آورد.

(1-1) میزان آنزیم ثبت شده = غلظت استوک اولیه

آنژیمی - غلظت مایع رویی

در نهایت با به دست آوردن فعالیت استوک اولیه آنزیمی، مایع رویی و آنزیم ثبت شده و به کمک فرمول های (1-2) و (2-2) کارایی روش ثبیت و فعالیت باقیمانده آنزیمی (فعالیت آنزیم بعد از ثبیت) محاسبه شد.

$$\text{Immobilized yield}(\%) = \frac{\text{مقدار آنزیم جذب شده مایع رویی (mg)}}{\text{مقدار آنزیم اضافه شده (mg)}} \times 100 \quad (1-2)$$

مقدار آنزیم جذب شده مایع رویی (mg) - مقدار آنزیم اضافه محاسبه شده (mg)

مقدار آنزیم اضافه شده (mg)

$$\text{Activity yield (\%)} = \frac{C}{A} \times 100 \quad (2-2)$$

A: فعالیت استوک آنزیمی

C: فعالیت آنزیم ثبت شده

## 9-2-1-اثر pH روی فعالیت آنزیم آزاد و ثبیت شده

طبق روش End point که قبلاً برای تعیین فعالیت آنزیمی ارائه شد، فعالیت نسبی آنزیم ثبیت شده و آزاد در pH های گوناگون در دمای  $25^{\circ}\text{C}$  تعیین شد. ابتدا یک بافر مختلط (mixed buffer) با ترکیب زیر به صورت تازه تهیه شد. مخلوطی با غلظت  $200\text{ mM}$  تریس-باز، گلیسین، سدیم فسفات و سدیم استات تهیه و با استفاده از محلول NaOH یا HCl در pH های مختلف (2 تا 12) تا

هموگلوبین استخراج شده اضافه شد. سپس محتویات هر میکروتیوب چندین بار با آب نمک 1 مولار شسته شد.

## 6-2-اتصال آنزیم به ژل فعال

حجمی از ژل که مورد نیاز بود، برداشته و  $1/5$  تا 2 برابر حجم ژل به آن استوک آنزیمی  $5\text{ mg/ml}$  افزوده شد. سپس مخلوط آنزیم - ژل یک شبانه روز روی هم زن مغناطیسی در دمای  $4^{\circ}\text{C}$  گذاشته شد. پس از تهشیش ژلن ژل، محلول رویی را برداشته، ژل چندین بار با بافر شدن ژل، محلول رویی را برداشته، ژل چندین بار با بافر  $40\text{ mM}$  فسفات با  $\text{pH}=7/5$  شست و شو داده شد. مایع رویی نیز به روش برادفور德 با استوک اولیه  $5\text{ mg/ml}$  پاپایین مقایسه شد.

## 7-2-بلوک کردن ژل

بعد از کامل شدن واکنش اتصال آنزیم به ژل فعال،  $1/5$  تا 2 برابر حجم آن به ژل فعال گلیسین 2 مولار افزوده شد تا جایگاهایی از ژل که آنزیم به آن متصل نشده بود با گلیسین بلوک شود. سرانجام، ژل با بافر  $40\text{ mM}$  فسفات با  $\text{pH}=7/5$  شست و شو شد.

## 8-2- تعیین بازده فعالیت و بازده ثبیت

برای ارزیابی میزان فعالیت آنزیم ثبیت شده و همچنین کارایی روش ثبیت، ابتدا  $1/5\text{ ml}$  استوک آنزیمی  $5\text{ mg/ml}$  تهیه شد. در مرحله بعد،  $750\mu\text{l}$  آن برداشته و در دمای  $4^{\circ}\text{C}$  نگهداری شد.  $1\mu\text{l}$  باقیمانده به ژل فعال اضافه شد. بعد از گذاشتن مخلوط آنزیم-ژل روی هم زن مغناطیسی از شب تا صبح، مایع رویی آن را برداشته و به روش برادفورد و سنجش آنزیمی با استوک اولیه آنزیمی ( $1\mu\text{l}$ ) که در دمای  $4^{\circ}\text{C}$  نگهداری شده بود مقایسه شد. میزان آنزیم اتصال یافته

نسبی نمونه‌ها اندازه‌گیری شد (نسبت به فعالیت زمان صفر انکوباسیون که عبارت بود از نمونه آنزیمی انکوبه شده در  $\text{pH}=7/5$  Mixed buffer).

تنظیم شد. کازئین 1 درصد نیز در آب مقطر تهیه شد. سپس آنزیم در بافر با  $\text{H}_2\text{O}$  مخلوط سنجش شد. بنابراین، غلظت بافر در محیط سنجش، 100 mM بود.

## 2-2- بررسی غیرفعال شدن حرارتی برگشت‌ناپذیر آنزیم

ابتدا محلول‌های آنزیمی در بافر 40 mM فسفات با  $\text{pH}=7/5$  تهیه و در دماهای  $20^\circ\text{C}$ - $90^\circ\text{C}$  انکوبه شدند. نمونه‌ها در فواصل زمانی مشخص برداشته و به یخ متغیر شدند. نمونه‌ها پس از نیمساعت از یخ خارج شده، فعالیت نسبی آن‌ها در دمای محیط و مطابق روش معمول اندازه‌گیری شد (نسبت به فعالیت زمان صفر انکوباسیون دمایی).

## 2-3- اثر یون‌های فلزی و EDTA روی فعالیت آنزیم آزاد و تثیت شده

غلظت‌های مورد نظر از نمک‌های کلرید کلسیم، منیزیم، روی، کبالت، آهن، باریم، قلع و منگنز، همچنین EDTA در بافر 40 mM فسفات با  $\text{pH}=7/5$ ، تهیه و فعالیت نسبی آنزیم طبق روش معمول اندازه‌گیری شد. فعالیت آنزیم در شرایط مختلف نسبت به فعالیت آن در بافر بدون هیچ افزودنی، نیز بررسی شد. در تهیه محلول‌های بالا باید به این نکته توجه شود که پس از افزودن ترکیب مورد نظر، بافر در صورت تغییر، تنظیم شود و برای هر نمونه یون فلزی از یک نمونه شاهد استفاده شود.

## 2-14- تعیین شاخص‌های سینتیکی ( $V_{\max}$ , $K_m$ )

شاخص‌های سینتیکی آنزیم آزاد و تثیت شده با استفاده از سوبستراط طبیعی آنزیم یعنی کازئین با نسبت‌های صفر تا یک درصد وزنی به دست آمد. استفاده از درصد وزنی کازئین، خطرا را تا حد زیادی کاهش داده

## 2-10- اثر درجه حرارت روی پایداری آنزیم آزاد و تثیت شده

مطابق روش پیش عمل شد با این تفاوت که در این آزمایش، pH، ثابت اما درجه حرارات محیط سنجش متغیر بود (بین  $30^\circ\text{C}$  تا  $90^\circ\text{C}$  و در بافر 40 mM فسفات،  $\text{pH}=7/5$ ). باید توجه داشت که برای سنجش فعالیت آنزیمی در هر دما، سوبسترا (کازئین 1 درصد) و محلول آنزیمی (بافر+آنزیم) هر دو باید در آن دما به تعادل برسند سپس فعالیت آنزیمی سنجیده شود. با استفاده از معادله آرنیوس (رابطه زیر) انرژی فعال‌سازی آنزیم (Ea) محاسبه شد:

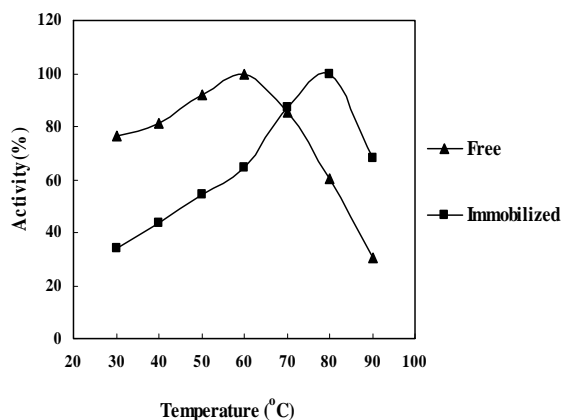
$$k = Ae^{-E_a/RT}$$

معادله آرنیوس، رابطه بین ثابت سرعت (K) و اکنش، دما بر حسب درجه کلوین (T) و انرژی فعال کننده (Ea) است. در این رابطه، A، پیش‌عامل نمائی و R، ثابت گازها است.

## 2-11- بررسی پایداری آنزیم در $\text{H}_2\text{O}$ های اسیدی و بازی

در این روش، آنزیم در زمان‌های 0, 1, 5, 10, 15, 30 و 60 دقیقه در Mixed buffer با  $\text{H}_2\text{O}$ های 3 و 12 انکوبه شد. سپس محلول آنزیمی با افزودن Mixed buffer با pH مناسب در دمای  $25^\circ\text{C}$  به  $\text{pH}=7/5$  رسانده و فعالیت

آنژیم آزاد،  $60^{\circ}\text{C}$  بود. در دمای بالاتر از  $70^{\circ}\text{C}$ ، فعالیت آنژیم دچار یک افت ناگهانی می‌شد، به‌گونه‌ای که در دمای  $90^{\circ}\text{C}$ ، آنژیم آزاد فقط ۳۰ درصد فعالیت بیشینه خود را حفظ می‌کرد. بیشینه فعالیت آنژیم ثبیت شده در دمای  $80^{\circ}\text{C}$  بود ( $20^{\circ}\text{C}$  جایه‌جایی در بهینه درجه حرارت). همچنین در دمای  $90^{\circ}\text{C}$ ، آنژیم ثبیت شده ۶۸ درصد فعالیت بیشینه خود را حفظ می‌کرد، در حالی که آنژیم آزاد تنها ۳۵ درصد فعالیت بیشینه را در این دما نشان می‌داد.



شکل ۱ اثر درجه حرارت روی فعالیت آنژیم آزاد و ثبیت شده

#### 3-4- منحنی آرنیوس و به دست آوردن انرژی فعال‌سازی

انرژی فعال‌سازی (Activation energy) برای آنژیم آزاد و ثبیت شده در محدوده دمایی  $30^{\circ}\text{C}$  تا  $70^{\circ}\text{C}$  با رسم منحنی آرنیوس و معادله خط آن محاسبه شد (شکل ۲). این مقدار برای آنژیم آزاد،  $1/86 \text{ kcal/mol.k}$  و برای آنژیم ثبیت شده،  $4/68 \text{ kcal/mol.k}$  محاسبه شد.

و محلول با دقت بیشتری تهیه خواهد شد. در محاسبات نهایی، این درصدها به میکرومولار کائزین در حجم مخلوط آزمایش تبدیل شدند و شاخص‌های سیتیکی از رسم و بررسی منحنی Lineeweaver-Burk به دست آمد. فعالیت آنژیم در غلاظت‌های مختلف کائزین در شرایط معمول با رسم منحنی استاندارد تیروزین بر حسب  $\mu\text{mol/ml}$  اندازه‌گیری شد.

### 3- یافته‌ها

#### 3-1- بررسی فعال شدن ژل

در این بررسی برای اطمینان از فعال شدن ژل، از هموگلوبین که پروتئینی رنگی است استفاده شد. بعد از اضافه کردن هموگلوبین به ژل فعال و چند بار شستشو ژل فعال شده، رنگ قرمز به خود می‌گرفت در حالی که ژل فعال نشده، رنگ قرمز خود را از دست می‌داد و بی‌رنگ می‌شد.

#### 3-2- نتایج مربوط به بازده فعالیت و بازده ثبیت

کارائی اتصال ثبیت آنژیمی (میزان پروتئین اتصال یافته) با  $200 \text{ mg}$  سیانوژن برومید و برای هر میلی‌لیتر ژل سفارز-6B فعال و استوک آنژیمی  $5 \text{ mg/ml}$  در محلول  $0/2 \text{ M}$  بی‌کربنات سدیم با  $\text{pH}=9/5$  (نسبت حجمی  $1/1/5$ ) برابر با  $7/3 \text{ mg.proteine/ml.gel}$  و بازده فعالیت و بازده ثبیت به ترتیب در حدود ۵۳ و ۷۶ درصد بود.

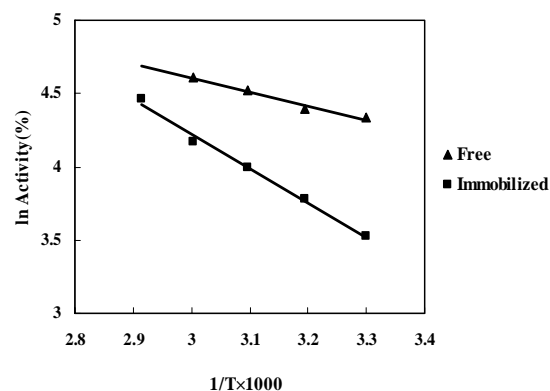
#### 3-3- اثر درجه حرارت روی فعالیت آنژیم آزاد و ثبیت شده

تأثیر درجه حرارت روی فعالیت آنژیم آزاد و ثبیت شده در شکل ۱ نشان داده شده است. درجه حرارت بهینه

### 3-6- غیرفعال شدن حرارتی برگشت‌ناپذیر آنزیم در اثر حرارت در دمای ۹۰°C و ۸۰°C

غیرفعال شدن حرارتی برگشت‌ناپذیر آنزیم در دمای ۹۰°C در اثر حرارت در دمای ۸۰°C در ۲۰۰mM Mixed buffer pH=7/5 و ۲۰۰mM میزان فعالیت آنزیم آزاد کاهش ۸۰°C همان‌گونه که در شکل ۴ مشاهده می‌شود، در دمای ۸۰°C با افزایش زمان انکوباسیون میزان فعالیت آنزیم آزاد کاهش یافته و بعد از انکوباسیون دمایی به مدت ۱۵ دقیقه، فعالیت آنزیم آزاد تقریباً به نصف می‌رسید. در حالی که آنزیم تثیت شده بعد از انکوباسیون دمایی به مدت ۵ دقیقه بیشینه فعالیت را داشت و با سپری شدن زمان انکوباسیون، آنزیم تثیت شده فعالیت خود را به میزان چشم‌گیری حفظ می‌کرد. بعد از گذشت ۱۵ دقیقه از انکوباسیون دمایی، ۹۸ درصد، بعد از ۳۰ دقیقه، ۸۴ درصد و بعد از ۶۰ دقیقه ۶۸ درصد فعالیت اولیه خود را حفظ می‌کرد. افزایش فعالیت آنزیم تا ۱۵۰ درصد طی مراحل اولیه واکنش می‌تواند به این دلیل باشد که با عمل تثیت، جایگاه فعال آنزیم بهتر در دسترس سویسترا قرار می‌گرفت. در آنزیم تثیت شده جنبش‌های غیرضروری مولکول‌ها در جایگاه فعال آنزیم به کمترین میزان رسیده و دسترسی سویسترا را مفیدتر می‌کند. از طرفی، افزایش دما اثر بیشتری روی زیادتر شدن جنبش‌های مولکولی در فرم آزاد نسبت به تثیت شده دارد و به این ترتیب، نمودارهای کاهش فعالیت نسبت به دما در آنزیم آزاد و تثیت شده (شکل‌های ۴ و ۵) نیز توجیه می‌شوند.

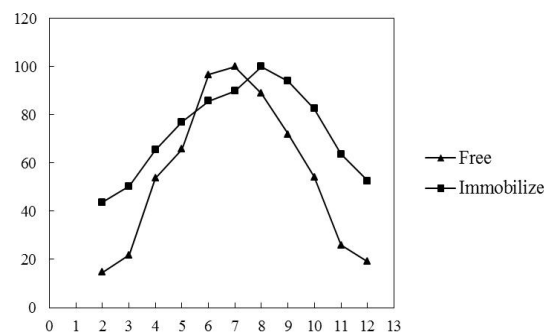
بررسی غیرفعال شدن حرارتی برگشت‌ناپذیر آنزیم نیز نشان داد که کاهش فعالیت آنزیم آزاد در دمای ۹۰°C (شکل ۵) بسیار سریع‌تر از دمای ۸۰°C بود. بعد از گذشت ۱۵ دقیقه از انکوباسیون دمایی، فعالیت آنزیم



شکل ۲ منحنی آرنیوس برای محاسبه انرژی فعال‌سازی مربوط به آنزیم آزاد و تثیت شده

### 3-5- اثر pH روی فعالیت آنزیم آزاد و تثیت شده

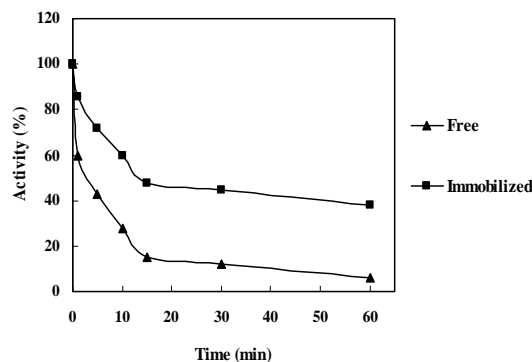
اثر pH مخلوط روی فعالیت آنزیم آزاد و تثیت شده (pH-profile) در شکل ۳ نشان داده شده است. بیشینه فعالیت آنزیم آزاد در محدوده pH بین ۷ تا ۶/۵ بود. فعالیت آنزیم آزاد از pH=۹ به بعد دچار افت شدید می‌شد به گونه‌ای که در pH=۱۲ آنزیم آزاد تنها ۲۰ درصد فعالیت اولیه خود را حفظ می‌کرد. ولی pH بینه آنزیم تثیت شده، ۸ بود و در pH=۶ تا ۱۰ فعالیت بالایی داشت. همچنین آنزیم تثیت شده در pH=۱۲/۵۳ درصد فعالیت اولیه خود را حفظ می‌کرد.



شکل ۳ اثر pH روی فعالیت آنزیم آزاد و تثیت شده

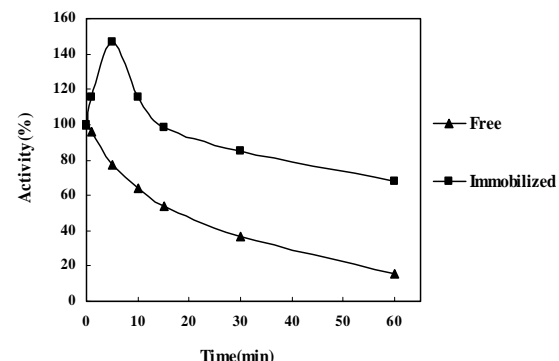
### 7- بررسی پایداری آنزیم آزاد و ثبیت شده در pHهای اسیدی و بازی

پایداری آنزیم آزاد و ثبیت شده در  $pH=3$  و  $pH=12$  بررسی و مقایسه شد (غیرفعال شدن برگشت ناپذیر در  $pH=3$  با افزایش زمان اسیدی و  $pH$  بازی). در  $pH=3$  با افزایش زمان انکوباسیون، فعالیت آنزیم آزاد کاهش محسوسی نشان می‌داد. فعالیت اولیه آنزیم آزاد پس از ۳۰ دقیقه از زمان انکوباسیون، ۱۲ درصد و پس از ۶۰ دقیقه، ۵ درصد قابل برگشت بود. در همین شرایط، آنزیم ثبیت شده نسبت به آنزیم آزاد، شرایط اسیدی را بهتر تحمل می‌کرد. پس از ۳۰ دقیقه، ۵۲ درصد و پس از ۶۰ دقیقه ۴۳ درصد فعالیت اولیه آنزیم ثبیت شده قابل برگشت بود (شکل ۶). در  $pH=12$  نیز، با افزایش زمان انکوباسیون، فعالیت آنزیم آزاد کاهش پیدا می‌کرد (شکل ۷). فعالیت اولیه آنزیم آزاد پس از ۳۰ دقیقه از زمان انکوباسیون، ۱۶ درصد و پس از ۶۰ دقیقه ۹ درصد قابل برگشت بود. در شرایط مشابه، آنزیم ثبیت شده نسبت به آنزیم آزاد، شرایط بازی را بهتر تحمل می‌کرد؛ پس از ۳۰ دقیقه، ۵۲ درصد و پس از ۶۰ دقیقه ۴۳ درصد فعالیت اولیه اش قابل برگشت بود.

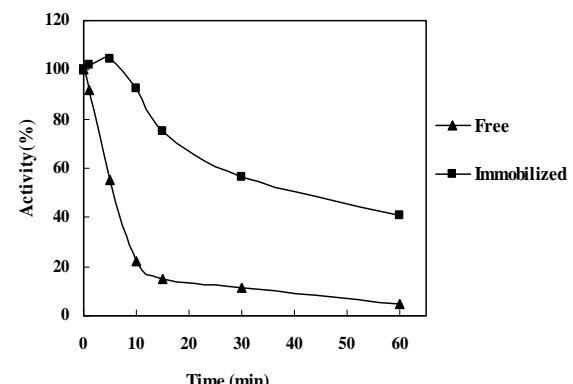


شکل ۶ بررسی پایداری آنزیم آزاد و ثبیت شده در  $pH=3$

آزاد به حدود صفر می‌رسید. در مورد آنزیم ثبیت شده، بعد از ۵ دقیقه از انکوباسیون دمایی، افزایش فعالیت مشاهده می‌شد. همانند دمای  $80^{\circ}\text{C}$  با سپری شدن زمان انکوباسیون، آنزیم ثبیت شده فعالیت خود را حفظ می‌کرد، به گونه‌ای که بعد از ۱۵ دقیقه از انکوباسیون دمایی، ۷۵ درصد، بعد از ۳۰ دقیقه، ۵۶ درصد و بعد از ۶۰ دقیقه ۴۰ درصد فعالیت اولیه خود را حفظ می‌کرد.

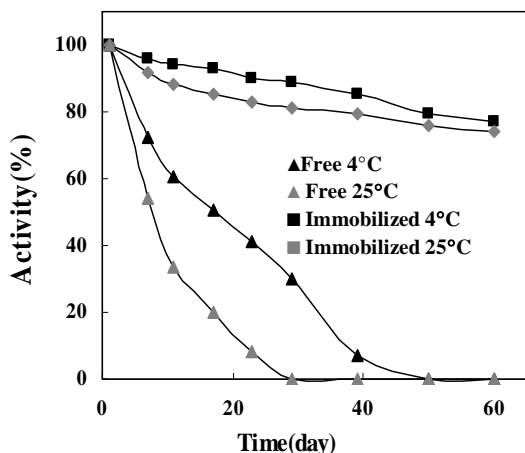


شکل ۴ غیرفعال شدن حرارتی برگشت ناپذیر آنزیم آزاد و ثبیت شده در دمای  $80^{\circ}\text{C}$



شکل ۵ غیرفعال شدن حرارتی برگشت ناپذیر آنزیم آزاد و ثبیت شده در دمای  $90^{\circ}\text{C}$

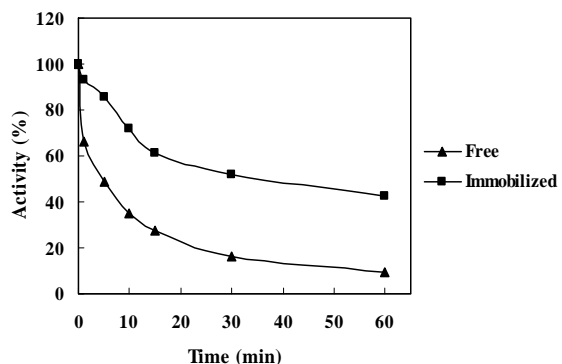
پاپایین در مقایسه با سایر تیول پروتئازها [14] و این احتمال که افزودن بازدارنده‌های پروتئاز در بررسی‌های فاکتورهای مورد نظر ما اشکال ایجاد می‌کند، همه بررسی‌ها در این پژوهش بدون حضور بازدارنده‌های پروتئاز انجام شد.



شکل 8 بررسی پایداری طولانی مدت آنزیم آزاد و تثیت شده

### ۳-۹- اثر یون‌های فلزی روی فعالیت آنزیم آزاد و تثیت شده

فعالیت نسبی آنزیم آزاد و تثیت شده در حضور غاظتها مختلف (1, 5, 10, 20, 40mM) یون‌های فلزی، اندازه گیری و فعالیت نسبی آنها در شرایط یکسان نسبت به فعالیت آنزیم در نبود آنها بررسی شد (جدول 1). آنزیم تثیت شده نسبت به آنزیم آزاد مقاومت بیشتری نسبت به حضور یون‌های فلزی از خود نشان می‌داد، در حالی که آنزیم آزاد نسبت به حضور یون‌های فلزی حساس بود و با افزایش غلظت آنها کاهش فعالیت محسوس بود. پژوهش‌ها نشان داده که تیول پروتئازها در اثر یون‌های فلزی، مهار آنزیمی شده و مقدار این مهار افزون بر غلظت فلز به بار آن نیز بستگی دارد. بیشترین مهار آنزیمی تحت اثر یون‌هایی با دو



شکل 7 بررسی پایداری آنزیم آزاد و تثیت شده در pH=12

### ۳-۸- تعیین پایداری طولانی مدت آنزیم آزاد و تثیت شده

پایداری طولانی مدت آنزیم آزاد و تثیت شده به مدت 60 روز در دمای 4°C و دمای آزمایشگاه (25°C) تحت شرایط استاندارد و به طور همزمان اندازه گیری شد. همان‌گونه که در (شکل 8) آشکار است، میزان کاهش فعالیت آنزیم آزاد محسوس بود و با گذشت زمان کاهش چشم‌گیری نسبت به همتای تثیت شده‌اش نشان می‌داد. بعد از انکوباسیون، زمانی به مدت 30 روز در دمای 25°C و 40 روز در دمای 4°C فعالیت آنزیم آزاد به صفر می‌رسید و آنزیم کاملاً غیرفعال می‌شد. در همین شرایط، آنزیم تثیت شده با حفظ پایداری، فعالیت خود را به میزان چشم‌گیری نسبت به حالت اولیه حفظ می‌کرد. بعد از انکوباسیون زمانی به مدت 40 روز، بیش از 80 درصد فعالیت اولیه خود را حفظ می‌کرد. با توجه به این که آنزیم پاپایین یک پروتئاز است، ممکن است در اثر هضم خود به خودی نیز تا حدی غیرفعال شود. در این پژوهش سعی شد که همه مراحل تثیت و سنتجش آنزیمی در زمان کوتاه انجام شده و هر بار محلول آنزیمی تازه تهیه شود تا از هضم خود به خودی تا حد زیادی جلوگیری شود. از سوی دیگر، با توجه به پایداری نسبی

### 3-10- مطالعه شاخص‌های سیتیکی آنزیم آزاد و ثبیت شده

شاخص‌های سیتیکی آنزیم آزاد و ثبیت شده در غلظت‌های مختلف کازئین، ارزیابی و مطالعه شد. برای به دست آوردن مقادیر عددی  $K_m$  و  $V_{max}$  آنزیم آزاد و ثبیت شده، منحنی لاین‌ویور-برک آن‌ها رسم شد. در محاسبات مربوط به  $K_m$ ، درصد‌های وزنی (W/V) کازئین در حجم مخلوط سنجش آنزیمی، تبدیل به میکرومولار شدند. نتایج حاکی از آن بود که ثبیت آنزیم سبب افزایش  $K_m$  و کاهش کارآئی کاتالیتیک ( $k_{cat}/K_m$ ) آنزیم ثبیت شده نسبت به همتای آزاد آن می‌شد (جدول ۲).

جدول ۲ محاسبه پارامترهای سیتیکی آنزیم آزاد و ثبیت شده

فرم آنزیم	$k_{cat}$ (min <sup>-1</sup> )	$K_m$ (μM)	$k_{cat}/K_m$
آزاد	$27 \times 10^{-5}$	0.62	$43 \times 10^{-5}$
ثبیت شده	$17 \times 10^{-5}$	0.79	$22 \times 10^{-5}$

### 4- بحث و نتیجه‌گیری

بررسی فعالیت آنزیم آزاد و ثبیت شده در pH‌های مختلف (شکل ۳) نشان داد که آنزیم آزاد در pH=7 بیشترین فعالیت را دارد. در pH‌های بالا و پایین، فعالیت آنزیم به میزان چشم‌گیری کاهش می‌یافتد در حالی که آنزیم ثبیت شده در pH=8 بیشترین فعالیت را داشت (۱) واحد افزایش نسبت به آنزیم آزاد. افزون بر آن، آنزیم ثبیت شده در pH‌های بالا و پایین نیز فعالیت چشم‌گیری در مقایسه با فرم آزاد آنزیمی از خود نشان می‌داد. در pH=12، آنزیم ثبیت شده حدود ۵۲ درصد از فعالیت اولیه خود را حفظ می‌کرد. جایه‌جایی pH بهینه آنزیم پایه‌بین ثبیت شده به روش کووالان به طرف pH‌های بازی به وسیله‌ی دیگر پژوهشگران نیز گزارش

بار مثبت است و با افزایش تعداد بار، مهار کاهش می‌یابد [۱۵]. یون‌های استفاده شده در این پژوهش دو ظرفیتی بودند، بنابراین فاکتور تعیین‌کننده میزان مهار آنزیمی، تنها غلظت یون بود (جدول ۱). پایه‌بین از گروه تیول پروتازها و آنزیمی پایدار است که نسبت به سایر سیستئین پروتازها و سرین پروتازها کمتر تحت اثر مهار یون‌های فلزی قرار می‌گیرد [۱۴]. آنزیم ثبیت شده به خاطر ثابت بودن کنفورماتیون نسبت به آنزیم آزاد، پایداری بیشتری در حضور یون‌های فلزی نشان می‌داد.

جدول ۱ اثر یون‌های فلزی بر فعالیت آنزیم آزاد و ثبیت شده

یون فلزی	فعالیت نسبی آنزیم		
	آزاد	ثبیت شده	
کنترل	1	1	
Ca <sup>2+</sup>	5 mM	0.785	0.948
	10	0.57	0.87
	20	0.342	0.72
	40	0.104	0.487
Mg <sup>2+</sup>	5 mM	0.814	0.967
	10	0.608	0.888
	20	0.4	0.772
	40	0.2	0.571
Ba <sup>2+</sup>	5 mM	0.767	0.914
	10	0.474	0.729
	20	0.288	0.571
	40	0.135	0.383
Co <sup>2+</sup>	5 mM	0.54	0.708
	10	0.258	0.587
	20	0.067	0.476
	40	0	0.2
Zn <sup>2+</sup>	5 mM	0.49	0.658
	10	0.227	0.549
	20	0.015	0.45
	40	0	0.164
Fe <sup>2+</sup>	5 mM	0.56	0.68
	10	0.283	0.565
	20	0.098	0.472
	40	0	0.164
Mn <sup>2+</sup>	5 mM	0.568	0.695
	10	0.291	0.602
	20	0.106	0.485
	40	0	0.182

نشان می‌داد که درجه حرارت بهینه آنزیم آزاد  $60^{\circ}\text{C}$  است. آنزیم آزاد در محدوده دمایی  $30^{\circ}\text{C}$  تا  $70^{\circ}\text{C}$  حدود 80 درصد و در دمای  $80^{\circ}\text{C}$  و  $90^{\circ}\text{C}$  به ترتیب 60 و 30 درصد فعالیت بیشینه را داشت. در شرایط مشابه، آنزیم تثیت شده در دماهای پایین، فعالیت کمتری نسبت به آنزیم آزاد از خود نشان می‌داد و بیشینه فعالیت خود را در دمای  $80^{\circ}\text{C}$  داشت ( $20^{\circ}\text{C}$  جایه‌جایی در بهینه درجه حرارت). اگرچه افزایش پایداری حرارتی آنزیم پایین تثیت شده به وسیله دیگر محققین نیز گزارش شده بود [16, 17 و 20]؛ اما نکته مهم در این پژوهش آن بود که در دمای  $90^{\circ}\text{C}$ ، آنزیم تثیت شده 70 درصد فعالیت بیشینه خود را حفظ می‌کرد که در هیچ یک از پژوهش‌های قبلی گزارش نشده بود. این افزایش پایداری حرارتی آنزیم پایین تثیت شده برای کاربردهای صنعتی بسیار ارزشمند است.

انرژی فعال‌سازی آنزیم آزاد و تثیت شده در بازه‌ی دمایی  $30^{\circ}\text{C}$  تا  $70^{\circ}\text{C}$  از طریق رسم منحنی آرنیوس محاسبه شد که برای آنزیم آزاد،  $1/86\text{ kcal/mol.k}$  و برای آنزیم تثیت شده،  $4/68\text{ kcal/mol.k}$  بود که نشان می‌داد ساختار آنزیم تثیت شده سخت‌تر و انعطاف‌پذیری آن کمتر شده است. بررسی اثر تغییرات دما بر سرعت واکنش‌های آنزیمی، اطلاعات چندانی در سازوکار واکنش کاتالیز آنزیمی در اختیار ما قرار نمی‌داد اما این آثار در تشخیص تغییرات ساختاری آنزیم و فعالیت آن بسیار ارزشمند است. طبق معادله آرنیوس، با افزایش دما، افزایش نمایی در سرعت واکنش آنزیمی به وجود می‌آید. در مورد آنزیم آزاد، هنگامی که دما از حد خاصی بگذرد ساختار فشرده سه‌بعدی خود را که برای فعالیت کاتالیتیک آن ضروری است از دست می‌داد. در دماهای بالاتر از

شده بود [16-17]. در محلول، ریزمحیط ملکول‌های آنزیم، همگن بوده و تحت این شرایط، آنزیم قادر است با همه‌ی اجزای محلول در تماس باشد. تثیت آنزیم موجب ناهمگن شدن محیط به دو فاز یعنی فاز آنزیم تثیت شده و فاز محلول می‌شود. جایه‌جایی pH بهینه آنزیم تثیت شده بیانگر تغییر رفتار گروه‌های عاملی شرکت‌کننده در جایگاه فعال آنزیم و در نتیجه تغییر ریزمحیط آن‌ها است؛ به دنبال آن کاهش قطبیت محیط و نیز کاهش ثابت دی‌الکتریک بافر و تماس گروه‌های مجاور با گروه عاملی کاتالیزور جایگاه فعال به گونه‌ای تغییر می‌یابد که یونیزاسیون آن به سوی  $\text{H}^+$ های قلیایی جایه‌جا شود [18]. به بیان دیگر تغییرات انجام‌شده به خاطر حضور یک گروه پروتون‌دهنده (His-159) در سازوکار اسید و باز کاتالیزور هیدرولیز کازئین است. مشابه چنین تاثیری روی گروه بازی (Cys-25) موجود در جایگاه فعال آنزیم نیز روی می‌دهد. از سویی کاهش فعالیت آنزیم در  $\text{H}^+$ های اسیدی و قلیایی در نتیجه افزایش برهم‌کنش‌های الکترواستاتیک در ساختار آنزیم در محیط دارای ثابت دی‌الکتریک پایین است که باعث از بین رفتن فعالیت آنزیم می‌شود. همچنین فاز تثیت شده به خاطر تغییر تعادل برهم‌کنش‌های الکترواستاتیک می‌تواند روی سازوکار کاتالیزور اسید و باز تأثیر بگذارد [19]. نتایج به دست آمده از این بررسی می‌تواند آغازی برای پژوهش‌های گسترش‌های زمینه اثر ریزمحیط بر pH بهینه آنزیم‌های تثیت شده و در نهایت استفاده صنعتی از آنزیم‌ها به ویژه آنزیم پایین در شرایط گوناگون باشد.

بررسی فعالیت آنزیم در دماهای مختلف و رسم Temperature profile که در شکل 1 آمده است،

استفاده از بستر متخلخل سفارز-6B بود که اندازه بهینه منافذ این بستر موجب پایداری و فعال بودن آنزیم ثبیت شده بود [23-24].

دلیل دیگر افزایش پایداری حرارتی آنزیم ثبیت شده، کاهش میزان آب در فاز ثبیت شده است. از آنجا که آب نقش مهمی در برهمکنش‌های آب‌گریز دارد، دستکاری محیط و مقدار آب اطراف آنزیم اثری عمیق بر میزان پایداری آنزیم دارد. کاهش میزان آب در فاز ثبیت شده سبب کاهش قطبیت محیط و تجمع هیدروفوبیک ملکول‌های پروتئینی که در واقع نیروی اصلی پایدارسازی پروتئین‌ها در محلول‌های آبی است، می‌شود [25]. برداشت آب از سامانه، سبب کاهش تعداد کلی پیوندهای هیدروژنی بین ملکول آب و آنزیم می‌شود و پایداری پیوندهای هیدروژنی درون‌ملکولی و در نهایت افزایش سختی و انعطاف‌نپذیری پروتئین را به دنبال دارد، در ثبیت آنزیمی با حلال‌هایی با ثابت دی‌الکتریک کم، پیوندهای هیدروژنی قوی‌تر است. وقتی پروتئین‌ها برای مدت زمان طولانی در دماهای بالا قرار می‌گیرند چنان‌که فرایند باز شدن حرارتی ساختمان می‌شوند که در نتیجه آن گروه‌های واکنشگر و نواحی هیدروفوب موجود در بخش درونی آنزیم در سطح قرار می‌گیرند که منجر به یک سری تغییرات شیمیایی برگشت‌پذیر از جمله انباشتگی، تجمع و آشفتگی ملکولی می‌شود [26-28]. این فرایندهای شیمیایی در دماهای بالا بسیار سریع انجام می‌گیرند و بیشتر باعث فرایندهایی مانند دامیناسیون زیراحدهای آسپاراژین و گلوتامین، هیدرولیز پیوندهای پپتیدی در زیر واحدهای آسپارتیک اسید، تخریب پیوندهای دی‌سولفیدی، اکسیداسیون سیستئین، ایزومریزاسیون پرولین و گلایکوزیله شدن گروه‌های آمین می‌شوند [27]. به خاطر آنکه انجام همه‌ی فرایندهای

$70^{\circ}\text{C}$ ، آنزیم آزاد به سرعت غیرفعال می‌شد؛ اما آنزیم ثبیت شده به خاطر وجود ریزمحیط کمتر تحت تأثیر درجه حرارت قرار می‌گرفت [21 و 22].

نتایج به دست آمده از بررسی غیرفعال شدن حرارتی برگشت‌نپذیر در دماهای  $80^{\circ}\text{C}$  و  $90^{\circ}\text{C}$  نشان داد که هر چه از زمان انکوباسیون آنزیم آزاد می‌گذشت، فعالیت آنزیم بیشتر کاهش می‌یافت. بعد از گذشت یک ساعت از زمان انکوباسیون در دمای  $80^{\circ}\text{C}$ ، آنزیم آزاد تنها ۱۵ درصد فعالیت اولیه خود را حفظ می‌کرد. در مورد آنزیم ثبیت شده شاهد یک مرحله افزایش فعالیت بودیم و آنزیم ثبیت شده بعد از ۵ دقیقه انکوباسیون بیشینه فعالیت را داشت. نکته ارزنده در این پژوهش آن است که بعد از گذشت یک ساعت از زمان انکوباسیون، آنزیم ثبیت شده حدود ۷۰ درصد از فعالیت اولیه خود را حفظ می‌کرد. همچنین بررسی پایداری طولانی مدت آنزیم آزاد و ثبیت شده، بیانگر افزایش چشم‌گیر پایداری حرارتی آنزیم ثبیت شده نسبت به همتای آزادش بود. آنزیم آزاد بعد از ۳۰ روز در دمای  $4^{\circ}\text{C}$  و ۴۰ روز در دمای  $25^{\circ}\text{C}$  (دما اتاق) فعالیتش را به طور کامل از دست می‌داد. در همین شرایط، آنزیم ثبیت شده بعد از ۶۰ روز با حفظ پایداری، حدود ۸۰ درصد فعالیت بیشینه خود را حفظ می‌کرد. این نتایج حاکی از آن بود که ثبیت آنزیم پایه‌بین به روش کووالانسی سبب افزایش چشم‌گیر در پایداری حرارتی آنزیم ثبیت شده نسبت به همتای آزاد آن می‌شد. پایداری حرارتی به دست آمده در اثر فرایند ثبیت، بیشتر ناشی از سختی و انعطاف‌نپذیری ملکولی و نیز ایجاد یک محیط حفاظت شده است. همچنین آثار انتشار درونی نیز سبب بهبود پایداری دمایی می‌شود. عامل مهم دیگر در افزایش پایداری حرارتی آنزیم ثبیت شده در این پژوهش،

حدود 70 درصد فعالیت اولیه خود را از دست می‌داد. در همین شرایط، فعالیت آنزیم تثیت شده در این غلظت‌ها در حضور یون‌های  $\text{Ca}^{2+}$ ,  $\text{Mg}^{2+}$ ,  $\text{Ba}^{2+}$  تقریباً بدون تغییر باقی می‌ماند (بیش از 90 درصد فعالیت اولیه آنزیم حفظ می‌شود). همچنین در حضور یون‌های  $\text{Co}^{2+}$ ,  $\text{Fe}^{2+}$ ,  $\text{Zn}^{2+}$  آنزیم تثیت شده حدود 60 درصد فعالیت اولیه‌اش (30 درصد بیشتر از حالت آزاد) را حفظ می‌کرد. در غلظت‌های بالا (40 mM و 30 mM) از یون‌های فلزی، فعالیت آنزیم آزاد تقریباً به صفر می‌رسید در حالی که فرم تثیت شده آنزیم به میزان چشم‌گیری فعالیت اولیه خود را حفظ می‌کرد و حساسیت آنزیم نسبت به آثار مهاری یون‌های دوظرفیتی کاهش می‌یافتد. حفظ پایداری آنزیم تثیت شده در غلظت‌های بالای یون‌های فلزی بیانگر کارایی زیاد روش تثیت در حفظ پایداری و فعالیت آنزیم تثیت شده است. همچنین این ویژگی از لحاظ کاربردی در صنایع مختلف بسیار ارزشمند است. برای نمونه، می‌توان از آنزیم پاپایین تثیت شده به عنوان یک بیوسنسور برای برآورد آلودگی‌های محیطی با فلزات سنگین بهره گرفت [31].

تثیت تقریباً همیشه فعالیت کاتالیزوری آنزیم را کاهش می‌دهد که در تغییر ثابت‌های سیتیکی در این پژوهش آشکار است [32-34]. از نتایج بارز این پژوهش، تغییر سرعت بیشینه واکنش آنزیمی ( $V_{\max}$ ) است. در شرایط یکسان، سرعت بیشینه پاپایین تثیت شده کمتر از مورد مشابه برای آنزیم محلول بود. ثابت میکائیلیس که بیانگر تمایل آنزیم به سوبسترانی کازئین است نسبت به همتای آزادش افزایش پیدا کرد. ثابت‌های سیتیکی به دلایل مختلف مانند تغییر در جایگاه فعال آنزیم طی فرایند تثیت آنزیمی و تأثیر بر

گفته شده مستلزم وجود آب است، در محیط‌های بدون آب مانند فاز تثیت شده رخ نمی‌دهند. افزون بر آن، سختی و انعطاف‌ناپذیری پروتئین‌ها در فاز تثیت شده مانع باز شدن برگشت‌پذیر آنزیم‌ها می‌شود. در نتیجه، آنزیم‌های تثیت شده، پایداری حرارتی بیشتری نسبت به آنزیم‌های تثیت نشده از خود نشان می‌دهند. بررسی مقایسه‌ای پایداری آنزیم آزاد و تثیت شده در pH اسیدی (pH=3) و pH قلیایی (pH=12) نشان داد که آنزیم تثیت شده نسبت به همتای آزادش در برابر pH بحرانی پایدارتر است. با گذشت زمان انکوباسیون، فعالیت آنزیم آزاد کاهش پیدا می‌کرد و بعد از گذشت یک ساعت از زمان انکوباسیون فعالیت آنزیم نزدیک به صفر می‌رسید. در همین شرایط آنزیم تثیت شده نسبت به آنزیم آزاد شرایط اسیدی و قلیایی را بهتر تحمل می‌کرد. با گذشت زمان، کاهش فعالیت آنزیم تثیت شده چندان محسوس نبود. بعد از سپری شدن یک ساعت از زمان انکوباسیون، آنزیم تثیت شده حدود 50 درصد فعالیت اولیه خود را حفظ می‌کرد. اگرچه گزارش‌هایی مبنی بر بهبود پایداری آنزیم پاپایین تثیت شده نسبت به pH بحرانی وجود دارد [29-30] ولی در هیچ‌کدام دامنه پایداری آنزیم نسبت به pH اسیدی و بازی تا این حد نبوده است.

اثر یون‌های فلزی در غلظت‌های 5 mM تا 40 mM روی دو فرم آزاد و تثیت شده آنزیم بررسی شد. همان‌گونه که در جدول 1 مشاهده می‌شود، در غلظت‌های پایین 5 mM و 10 mM از یون‌های فلزی، فعالیت آنزیم آزاد به میزان چشم‌گیری کاهش پیدا می‌کرد. آنزیم آزاد در غلظت 5 mM از یون‌های  $\text{Co}^{2+}$ ,  $\text{Fe}^{2+}$ ,  $\text{Zn}^{2+}$ ,  $\text{Mn}^{2+}$  درصد فعالیت اولیه و در غلظت 10 mM از این یون‌ها،

- [6] Marshall, J.J. (1978) Quantitative determination of alpha-amylase in glucoamylase preparations. *Anal. Biochem.* 85, 541-50.
- [7] Micheel, F. and Evers, J. (1949) Synthesis of cellulose-bound proteins. *Macromol. Chem.* 3, 200-209.
- [8] Gale, E. F. and Epps, M. R. (1944) Studies on bacterial amino-acid decarboxylases 1. 1-(+)-lysine decarboxylase. *Biochem. J.* 38, 232-242.
- [9] Matsumoto, K., Murata, M., Sumiya, S., Mizoue, K., Kitamura, K. and Ishida, T. (1998) X-Ray crystal structure of papain complexed with cathepsin B-specific covalent-type inhibitor substrate specificity and inhibitory activity. *Biochimica. Biophysica. Acta* 1383, 93-100.
- [10] Sumantha, A., Larroche, C. and Pandey, A. (2006) Microbiology and Industrial Biotechnology of Food-Grade Proteases: A Perspective. *Food Technol. Biotechnol.* 44, 211-220.
- [11] Rao, M. B., Tanksale, A. M., Ghatge, M. S., and Deshpande, V. V. (1998) Molecular and Biotechnological Aspects of Microbial Proteases. *Microbiology. J. Mol. Biol. Rev.* 35, 597-635.
- اتصال سوبسترا به آنزیم ثبیت شده به خاطر جلوگیری فضایی، تغییر می‌کند [18، 33 و 35].
- در نهایت می‌توان ادعا کرد که در این پژوهش با ارائه راهکاری جدید برای بهینه‌سازی ثبیت آنزیم پاپایین، موفق به افزایش پایداری آنزیم ثبیت شده نسبت به فرم آزاد شدیم که در مورد این آنزیم تا به حال انجام نشده بود.

## 5- مراجع

- [1] Gianfreda, L. and Scarfi, M. R. (1991) Enzyme stabilization: state of the art. *J. Mol. Cell Biochem.* 100, 97-128.
- [2] Wessa, T., Rapp, M. And Ache, H. J. (1999) new immobilization method for SAW-biosensors: covalent attachment of antibodies via CNBr. *Biosens. Bioelectron.* 14, 93-98.
- [3] Reshma, R., Sanjay, G. and Sugunan, S. (2006) Enhanced activity and stability of  $\alpha$ -amylase immobilized on alumina. *Catal. Commu.* 7, 460-465.
- [4] Bruggink, A. Roos, E. C. and de Vroom, E. (1998) Penicillin acylase in the industrial production of  $\beta$ -lactam antibiotics. *Org. Process. Res.* 2, 128-133.
- [5] Chang, T. M. S. and Poznansky, M. J. (1968) Semipermeable microcapsules. Containing catalase for enzyme replacement in acatalasaemic mice. *Nature* 218, 242-245.

- (4-formyl phenoxy) cyanurate. *Enzyme Microb. Technol.* 39, 958-962.
- [18] Bickerstaff, G.F. (1997) Enzymes in Industry and Medicine. Publisher, Edward Arnold London.
- [19] Harrison, M. J., Burton, N. A. and Hillier, I. H. (1997) Catalytic Mechanism of the Enzyme Papain: Predictions with a Hybrid Quantum Mechanical/Molecular Mechanical Potential. *J. Am. Chem. Soc.* 119, 12285-12291
- [20] Afaaq, S. and Iqbal, J. (2001) Immobilization and stabilization of papain on chelating sepharose: a metal chelate regenerable carrier. *Elec. J. Biochem.* 4 (3), 120-124.
- [21] Marshall, J.J. (1978) Quantitative determination of alpha-amylase in glucoamylase preparations. *Anal. Biochem.* 85, 541-50.
- [22] Duvnjak, Z. (1976) the Immobilization of Glucose Oxidase to Manganese Oxide. *Biotech. Bioeng.* 18, 737-740.
- [23] Lucas, C. C. And King, J.E. (1932) The Iodimetric Titration of Cysteine and Allied Substances. *Biochem. J.* 26, 2076-2089.
- [24] Miyamoto, D., Watanabe, J. and Ishihara, K. (2004) Effect of Water-Soluble Phospholipid Polymers Conjugated with [12] Mansfield, L. E., Ting, S., Haverly, R.W. and Yoo, T. J. (1985) the incidence and clinical implications of hypersensitivity to papain in an allergic population, confirmed by blinded oral challenge. *Ann. Aller.* 55, 541-543.
- [13] March, S. C., Parikh, I. and Cuatrecasas, P. (1974) A simple method for cyanogen bromide activation of agarose for affinity chromatography. *Annal. Biochem.* 60, 149-152.
- [14] Guerrieri, N., Cerletti, P., De Vincentiis, M., Salvati, A. and Scippa, S. (1999) Vanadium inhibition of serine and cysteine proteases. *Comparative Biochemistry and Physiology Part A* 122, 331-336.
- [15] Crans, D. C., Bunch, R. L. and Theisen, L.A. (1989) Interaction of trace levels of vanadium(IV) and vanadium(V) in biological systems. *J. Am. Chem. Soc.* 111, 7597-607.
- [16] Sangeetha, K. and Abraham, E. (2006) Chemical modification of papain for use in alkaline medium. *J. Mol. Cata. B-Enzyme* 38, 171-177.
- [17] Srinivasa, R., Borkar, P. S., Khobragade, C. N. and Sagar, A. D. (2006) enzymatic activities of protease immobilized on tri

- using papain. *Analytica Chimica Acta* 566(2), 283-289.
- [32] Chang, M. Y. and Juang, R.S. (2005) Activities, stabilities, and reaction kinetics of three free and chitosan-clay composite immobilized enzymes. *Enzyme Microb. Technolo.* 36, 75-82.
- [33] Marconi, W., Faiola, V. and Piozzi, A. (2001) Catalytic activity of immobilized fumarase. *J. Mol. Cata.* 15, 93-99.
- [34] Fang, F., Satulovsky, J. and Szleifer, I. (2005) Kinetics of Protein Adsorption and Desorption on Surfaces with Grafted Polymers. *Biophys. J.* 89, 1516-1533.
- [35] Klibanov, A. M. (1983) Immobilized enzymes and cells as practical Catalysts. *Science* 219, 722-727.
- Papain on the enzymatic Stability. *Biomaterials* 25, 71-76.
- [25] Kausmann, W. (1959) some factor in the interpretation of protein denaturation. *Adv. Protein. Chem.* 14, 1-63.
- [26] Gupta, M. N. and Roy, I. (2004) Enzymes in organic media Forms, functions and applications. *Eur. J. Biochem.* 271, 2575–2583.
- [27] Volkin, D.B. and Klibanov, A.M. (1989) Minimizing protein inactivation in "Protein function, a practical approach" IRL Press, Oxford, pp. 1-24.
- [28] Gupta, M. M. (1992) Enzyme Function in Organic solvent. *Eur. J. Biochem.* 203, 25-32.
- [29] Sangeetha, K. and Emilia Abraham, T. (2006) Chemical modification of papain for use in alkaline medium. *J. Mol. Catal. B-Enzyme.* 38(3-6), 171-177
- [30] Lei, H., Wang, W., Chen, L.L., Li, X.C., Yi, B. and Deng L. (2004) the preparation and catalytically active characterization of papain immobilized on magnetic composite microspheres. *Enzyme Microb. Technol.* 35(1), 15-21.
- [31] Shukor, u., Baharom, N. A., Rahman, F. A., Abdullah, M. P., Shamaan, N. A. And Arif syed, M. (2006) Development of a heavy metals enzymatic-based assay